



DIFESEK

**Část 3: Analýza konstrukce**

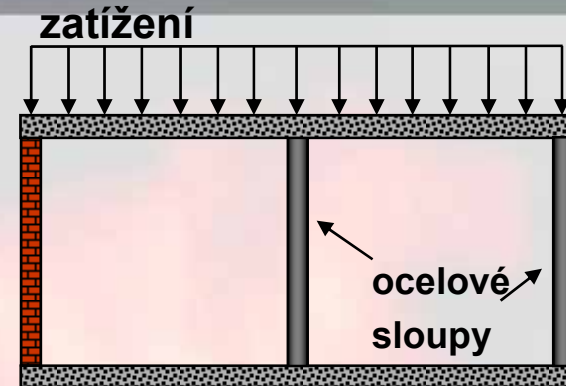
# Požární odolnost – řetěz událostí



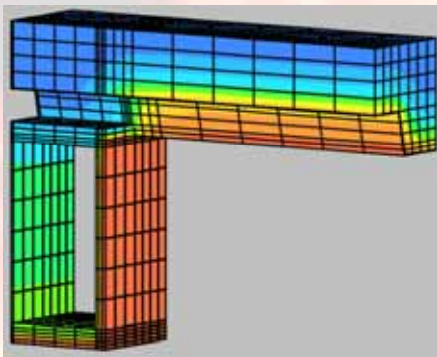
1: Vznik požáru



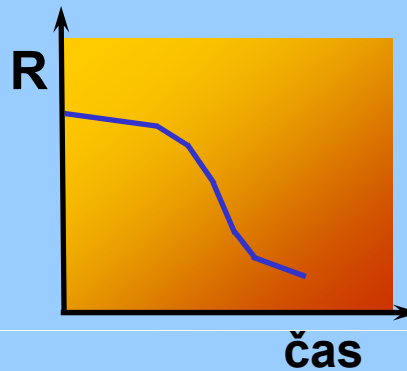
2: Tepelné zatížení



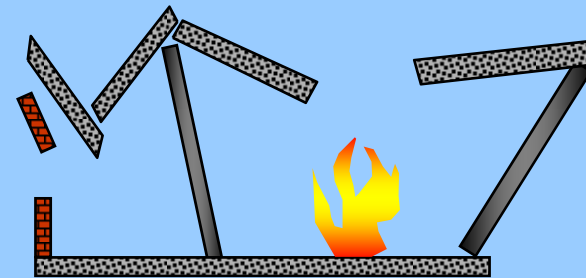
3: Mechanické zatížení



4: Teplota konstrukce



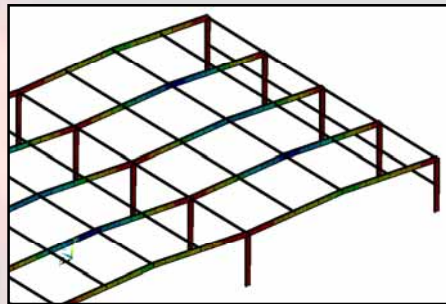
5: Analýza konstrukce



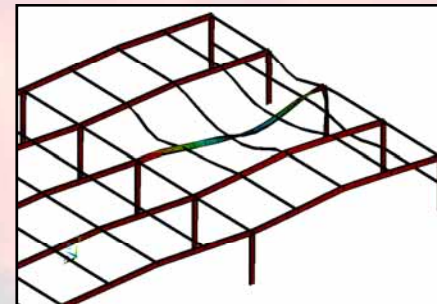
6: Možnost zřícení

# Chování konstrukce při požáru

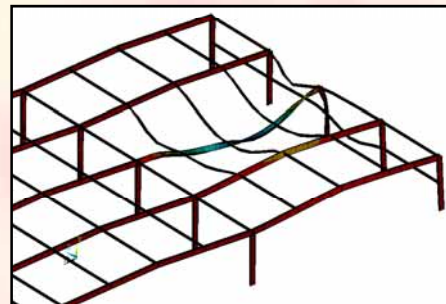
- Zvýšení teploty → teplotní roztažnost + snížení tuhosti a únosnosti → zvětšení deformací ⇒ **možnost zřícení**



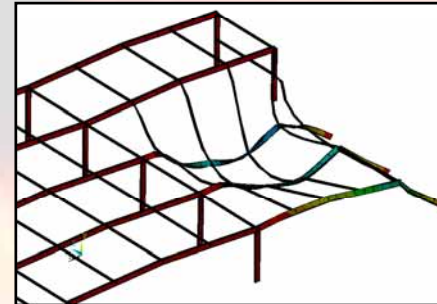
$t = 0 \quad \theta = 20^\circ\text{C}$



16 min  $\theta = 620^\circ\text{C}$



22 min  $\theta = 720^\circ\text{C}$



31 min  $\theta = 850^\circ\text{C}$

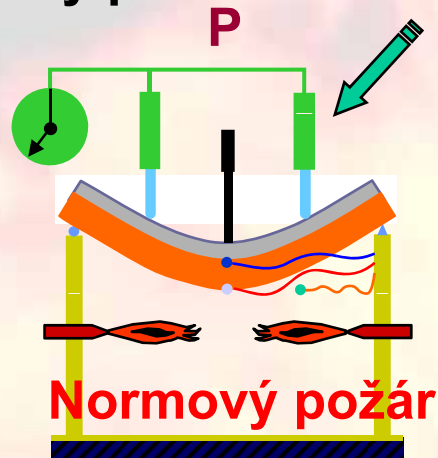
# Předpověď chování konstrukce při požáru

## □ Cíl

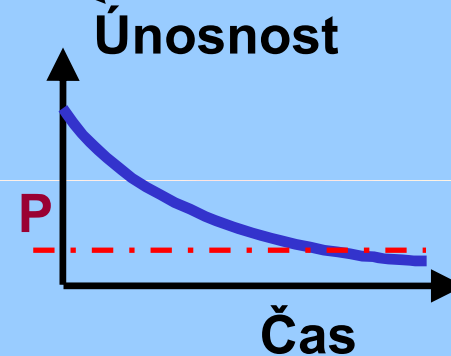
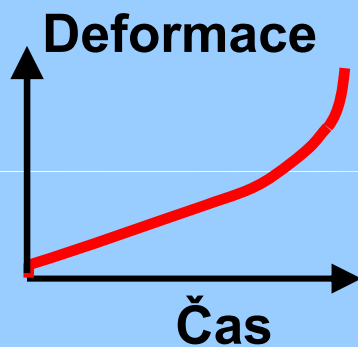
- popis **chování konstrukce** při libovolném průběhu požáru

## □ Možnosti

Zkoušky požární odolnosti



Výpočet



# Hlavní kroky při analýze konstrukce při požáru

- ❑ Mechanické zatížení konstrukce při požáru
  - mimořádná kombinace zatížení
- ❑ Mechanické vlastnosti konstrukčních materiálů při vysokých teplotách
  - modul pružnosti a pevnost závisí na teplotě
- ❑ Metody pro analýzu konstrukce při požáru
  - různé metody
  - oblasti použití
- ❑ Specifika pro požární odolnost ocelových a spřažených konstrukcí
  - přípoje, styčníky, apod.

# Mechanické zatížení – kombinace zatížení podle Eurokódu (ČSN EN 1990 a ČSN EN1991-1-2)

$$\sum_{j \geq 1} G_{k,j} + (\Psi_{1,1} \text{ nebo } \Psi_{2,1}) Q_{k,1} + \sum_{i \geq 2} \Psi_{2,i} Q_{k,i}$$

$G_{k,j}$  : charakteristické hodnoty stálého zatížení

$Q_{k,1}$  : charakteristická hodnota dominantního nahodilého zatížení

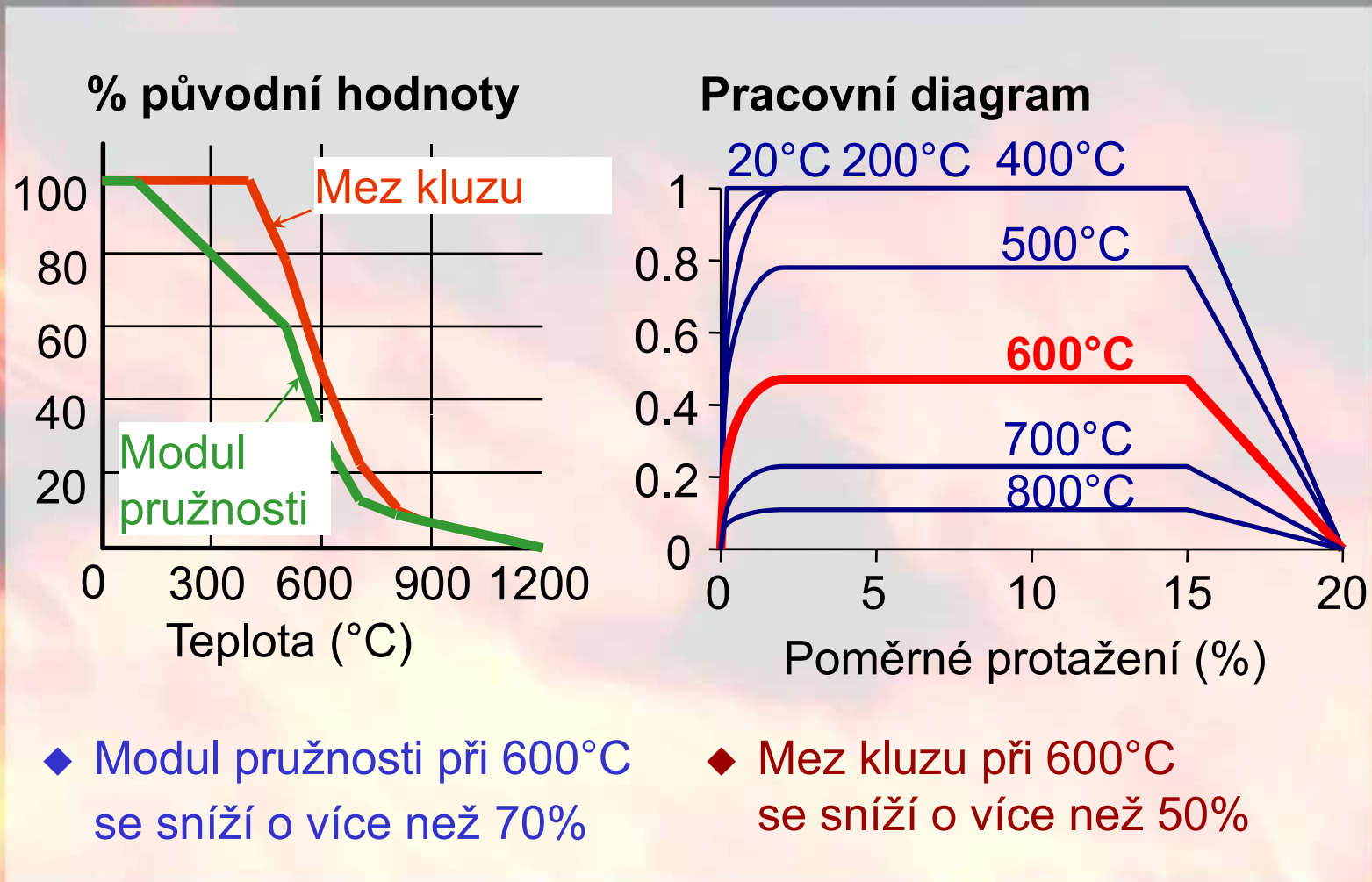
$Q_{k,i}$  : charakteristické hodnoty ostatních nahodilých zatížení

$\Psi_{1,1}$  : součinitel kombinace pro častou kombinaci zatížení (pro dominantní nahodilé zatížení)

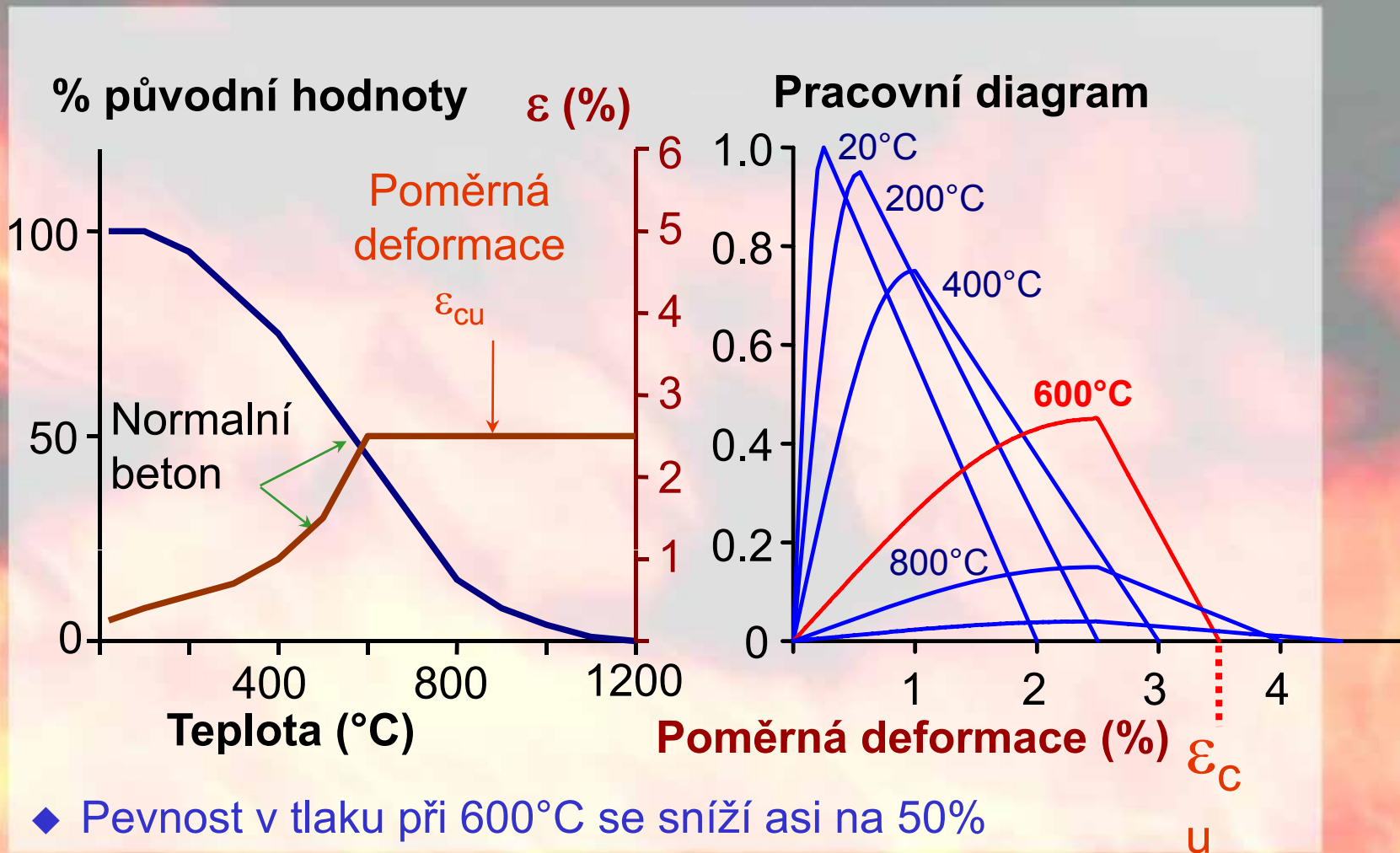
$\Psi_{2,i}$  : součinitel kombinace pro kvazistálou kombinaci zatížení (pro ostatní nahodilá zatížení)

→ redukční součinitel zatížení:  $\eta_{fi,t}$  (viz WP1)

# Mechanické vlastnosti oceli při vysokých teplotách ( ČSN EN 1993-1-2)

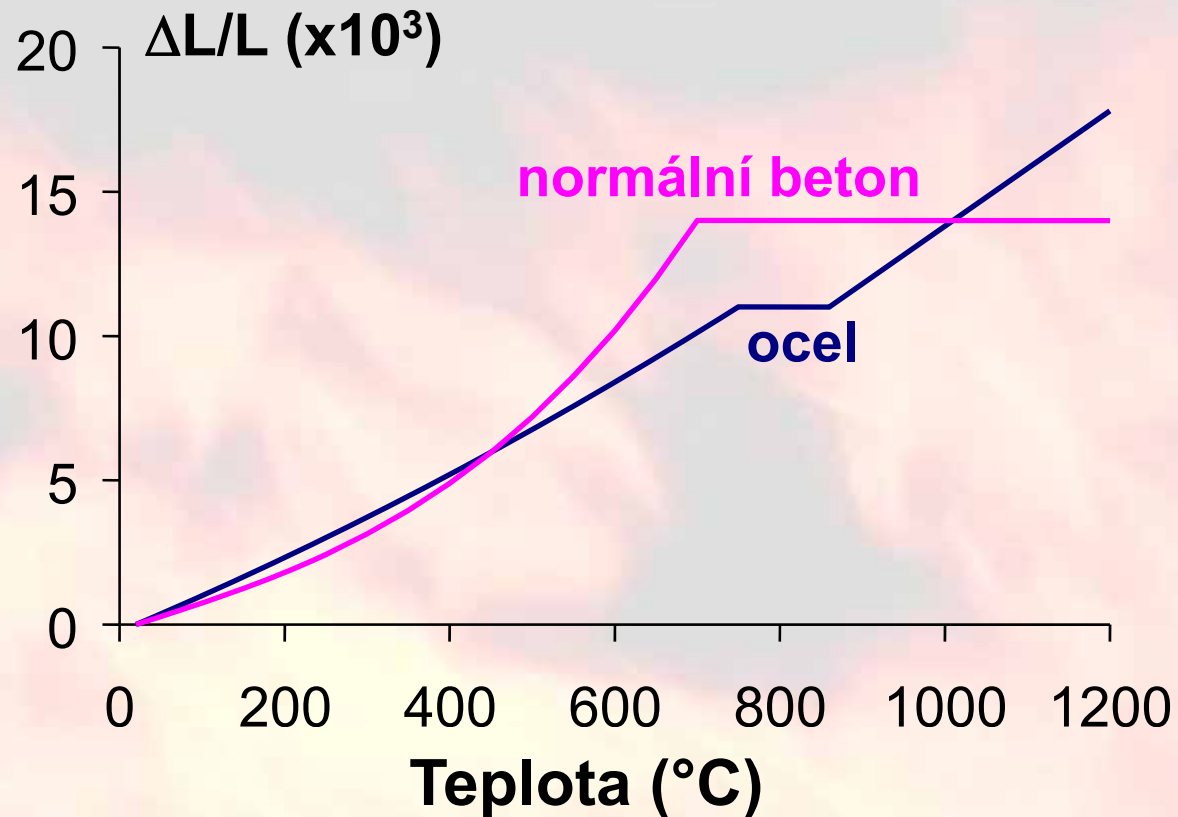


# Mechanické vlastnosti betonu při vysokých teplotách (ČSN EN 1994-1-2)





# Teplotní roztažnost oceli a betonu (ČSN EN 1993-1-2 a ČSN EN 1994-1-2)



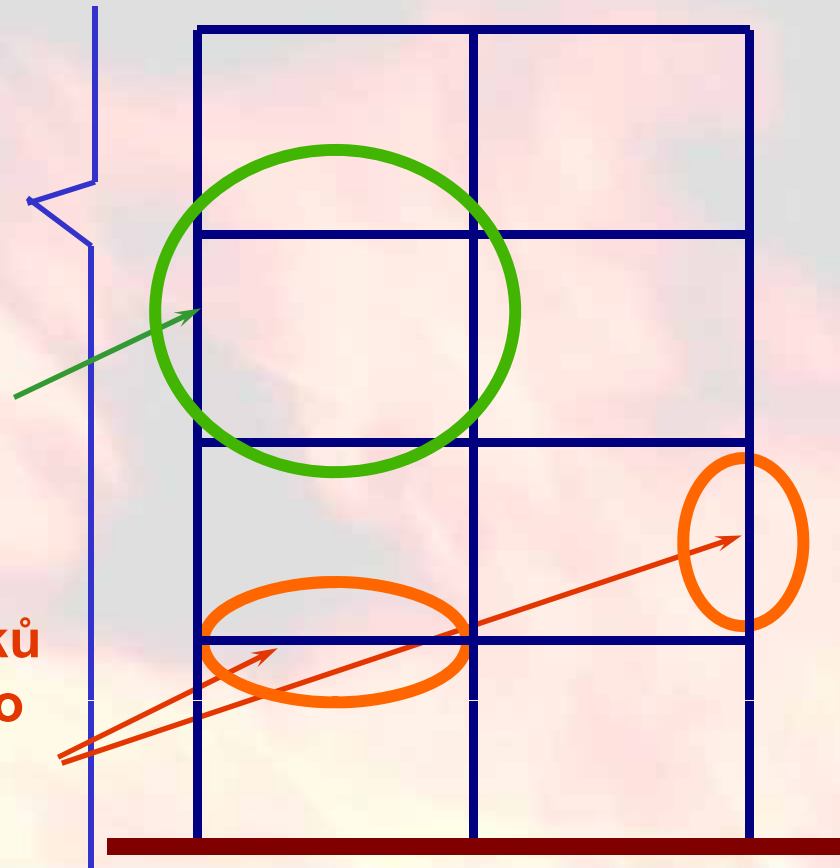
# Různé přístupy k analýze konstrukce při požáru

□ Tři postupy uplatněné v Eurokódech

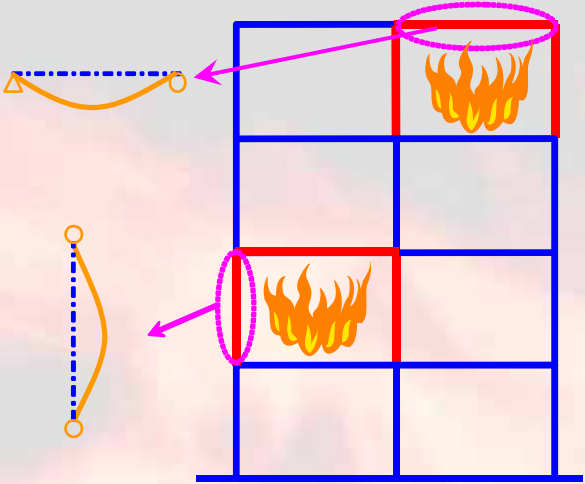
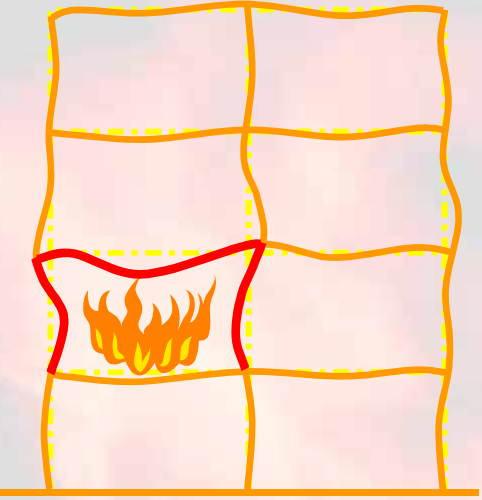
analýza konstrukce

analýza části konstrukce

analýza jednotlivých prvků  
(používaná především pro  
určení normové požární  
odolnosti)



# Různé přístupy k analýze konstrukce při požáru

Analýza prvků	Analýza konstrukce
	
<ul style="list-style-type: none"><li>➤ analýza jednotlivých konstrukčních prvků</li><li>➤ jednoduchá</li><li>➤ zpravidla pro určení normové požární odolnosti</li></ul>	<ul style="list-style-type: none"><li>➤ <b>zohledňuje spolupůsobení jednotlivých konstrukčních prvků</b></li><li>➤ <b>poloha požárního úseku</b></li><li>➤ <b>celistvost konstrukce</b></li></ul>

# Tři úrovně návrhových modelů konstrukce při požáru

## ❑ Tabulky

- ocelobetonové prvky

## ❑ Jednoduché návrhové modely

- kritická teplota
- ocelové a ocelobetonové prvky

Tradiční  
přístup

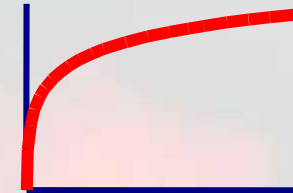
## ❑ Zdokonalené návrhové modely

- všechny typy konstrukcí
- modely založené na:
  - metodě konečných prvků
  - metodě konečných diferencí

Moderní  
metody  
navrhování

# Použití jednotlivých návrhových metod pro posouzení konstrukce při požáru

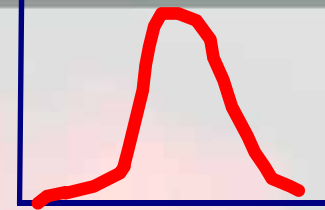
Teplotní analýza: nominální teplotní křivky



Analýza	Tabulky	Jednoduché návrhové modely	Zdokonalené návrhové modely
Analýza jednotlivých prvků	Ano <u>ISO-834 normová křivka</u>	Ano	Ano
Analýza části konstrukce	Ne	Ano (pokud lze)	Ano
Analýza konstrukce	Ne	Ne	Ano

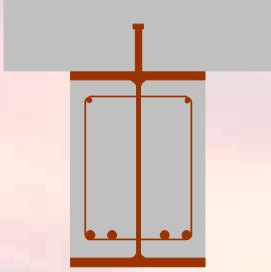
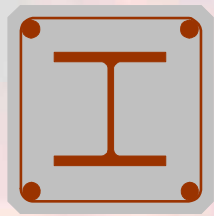
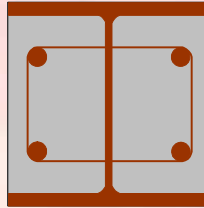
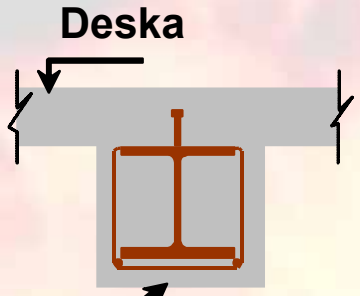
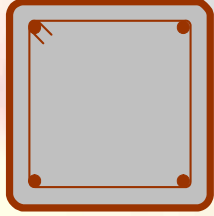
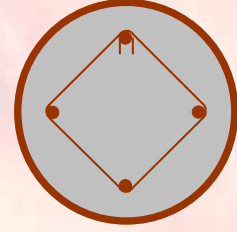
# Použití jednotlivých návrhových metod pro posouzení konstrukce při požáru

Teplotní analýza: model přirozeného požáru



Analýza	Tabulky	Jednoduché návrhové modely	Zdokonalené návrhové modely
Analýza jednotlivých prvků	Ne	Ano (pokud lze)	Ano
Analýza části konstrukce	Ne	Ne	Ano
Analýza konstrukce	Ne	Ne	Ano

# Tabulky (ocelobetonové konstrukce)

Ocelobetonové nosníky	Ocelobetonové sloupy
	 
<p>Deska</p>  <p>Beton chrání ocelový průřez</p>	 

# Tabulky – důležité parametry (ocelobetonové sloupy – ČSN EN 1994-1-2)

		Normová požární odolnost			
		R30	R60	R90	R120
Minimální poměr tloušťky stěny a pásnice $e_w/e_f$		0,5			
<b>1</b>	<b>Minimální rozměry průřezu pro součinitel zatížení</b>	$\eta_{fi,t} \leq 0,28$			
1.1	minimální rozměry h a b [mm]	160	200	300	400
1.2	minimální osová vzdálenost výztuže $u_s$ [mm]	-	50	50	70
1.3	minimální procento vyztužení $A_s/(A_c+A_s)$ [%]	-	4	3	4
<b>2</b>	<b>Minimální rozměry průřezu pro součinitel zatížení</b>	$\eta_{fi,t} \leq 0,47$			
2.1	minimální rozměry h a b [mm]	160	300	400	-
2.2	minimální osová vzdálenost výztuže $u_s$ [mm]	-	50	70	-
2.3	minimální procento vyztužení $A_s/(A_c+A_s)$ [%]	-	4	4	-
<b>3</b>	<b>Minimální rozměry průřezu pro součinitel zatížení</b>	$\eta_{fi,t} \leq 0,66$			
3.1	minimální rozměry h a b [mm]	160	400	-	-
3.2	minimální osová vzdálenost výztuže $u_s$ [mm]	40	70	-	-
3.3	minimální procento vyztužení $A_s/(A_c+A_s)$ [%]	1	4	-	-

Normová  
požární  
odolnost

Zatížení

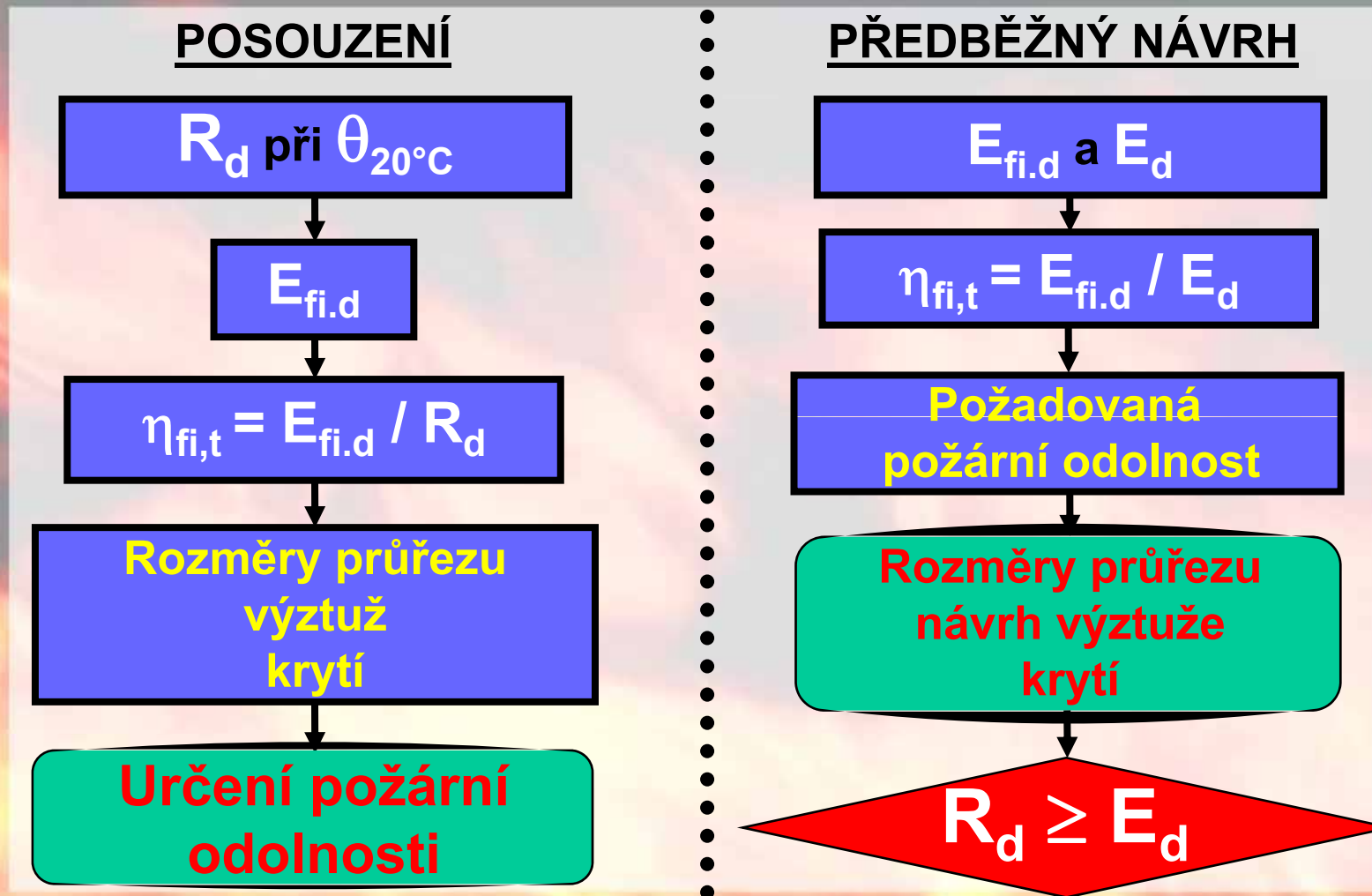
Rozměry  
průřezu

Výztuž

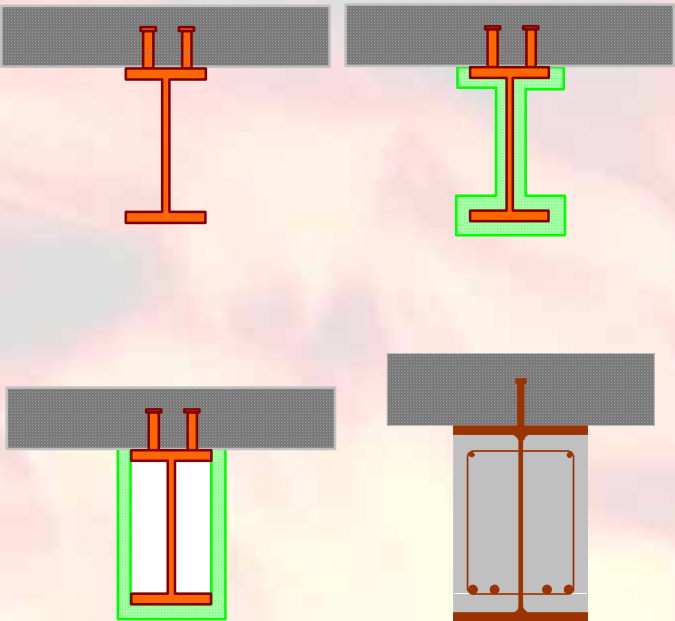
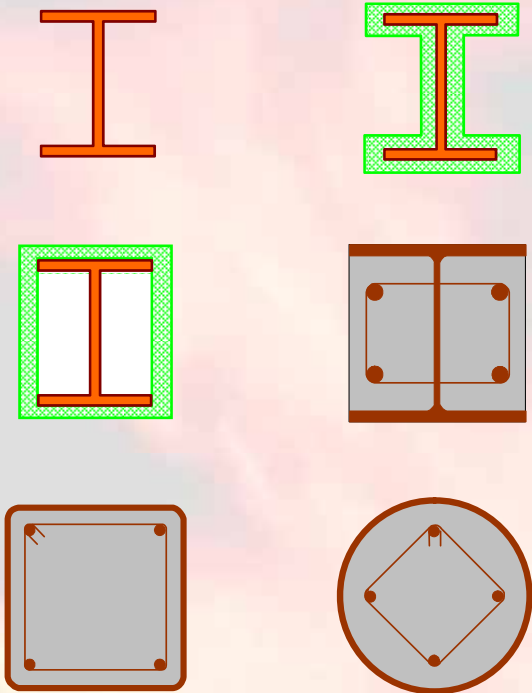
Krytí



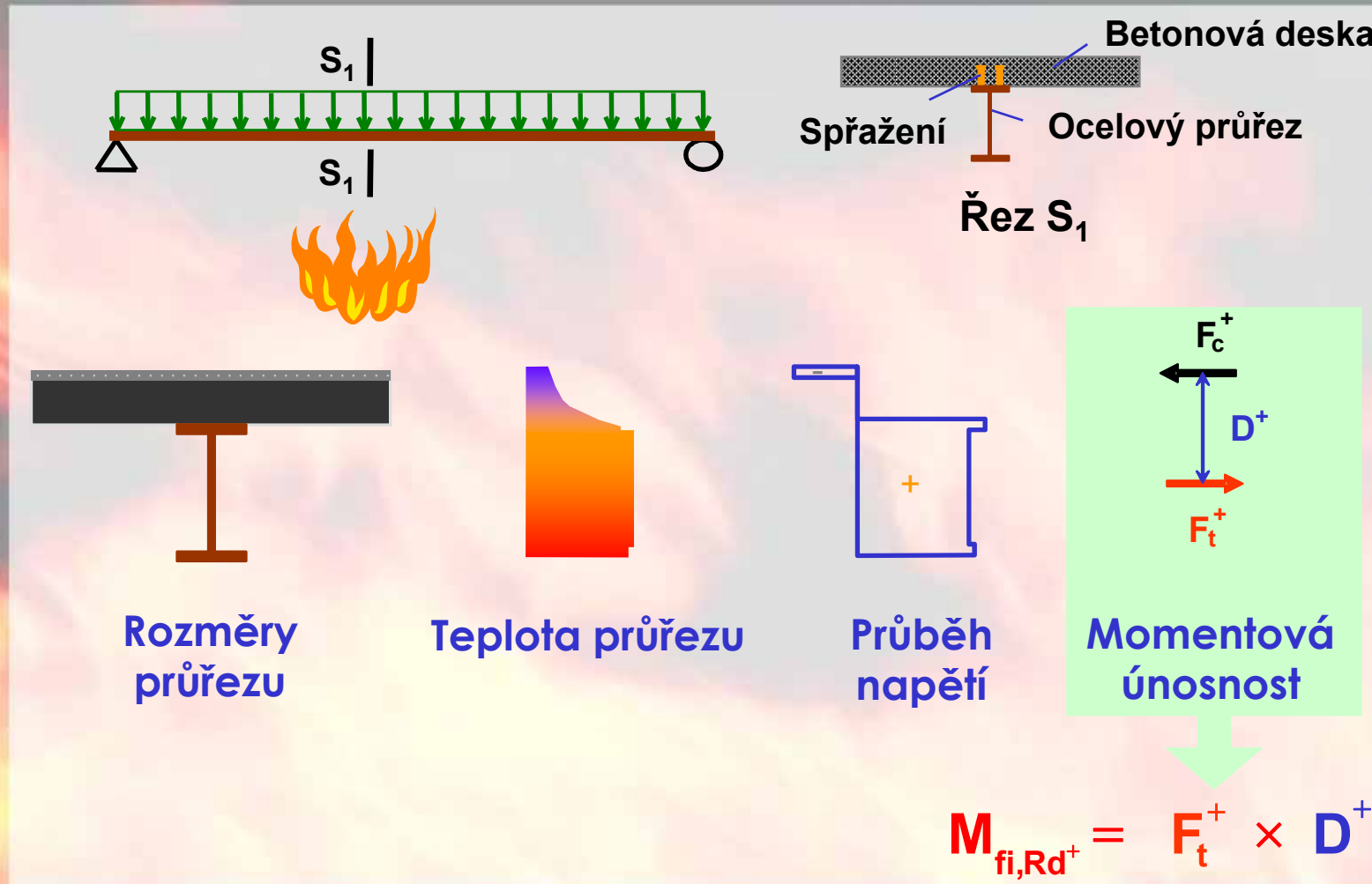
# Použití tabulek při požárním návrhu (dvě odlišné situace)



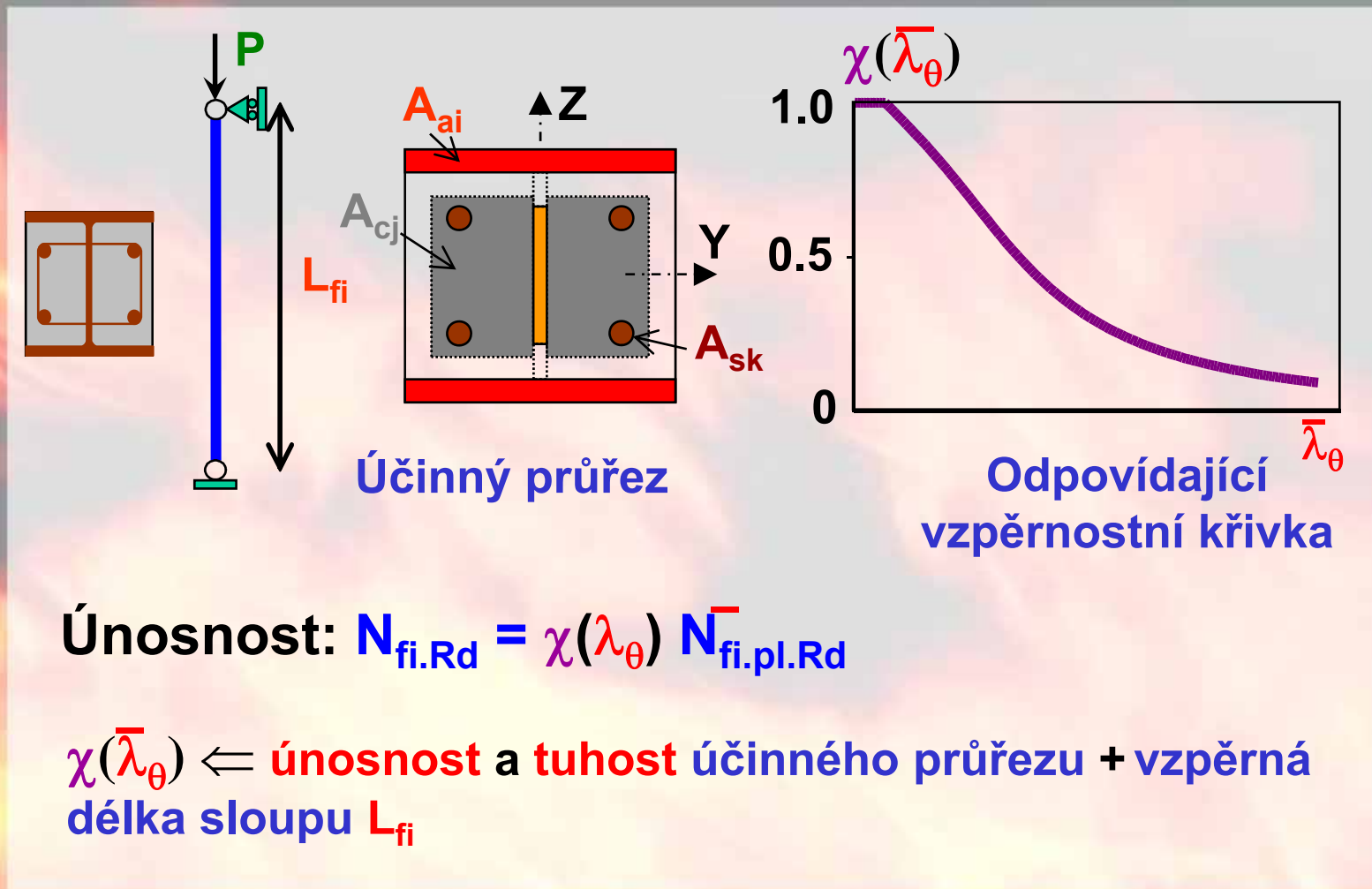
# Jednoduché návrhové modely (ocelové a ocelobetonové konstrukce)

Nosníky (ocelové, ocelobetonové)	Sloupy
	

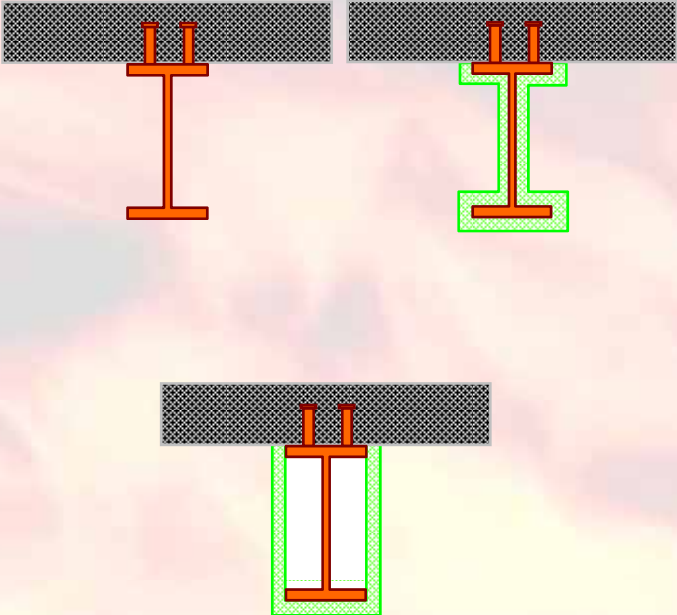
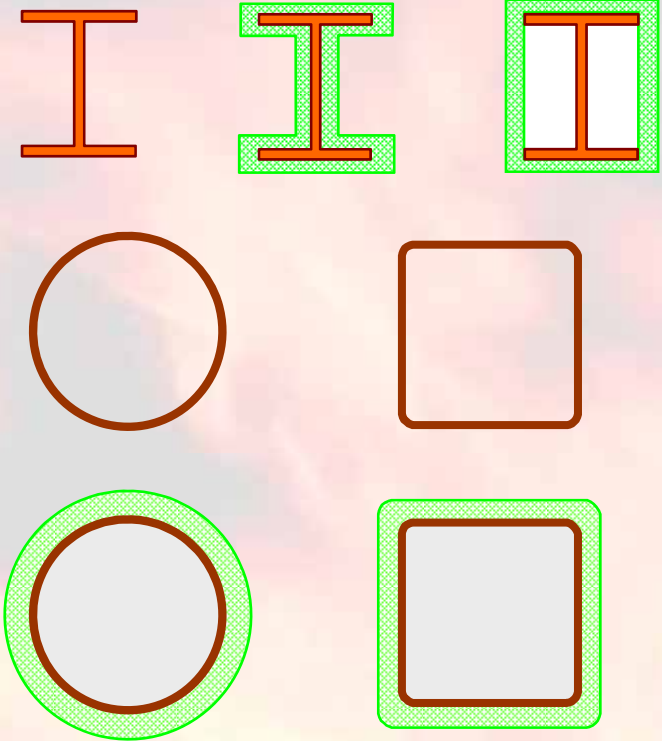
# Jednoduchý návrhový model (ocelobetonový nosník) – plastický moment únosnosti



# Jednoduchý návrhový model (ocelobetonový sloup) – únosnost ve vzpěrném tlaku



# Kritická teplota (jen pro ocelové a některé ocelobetonové prvky)

Nosníky (ocelové, ocelobetonové)	Sloupy
	

# Kritická teplota

- Podle jednoduchých návrhových modelů použitých pro prvek s rovnoměrným rozložením teploty po průřezu platí:

$$R_{fi,d,t} = k_{y,\theta} R_{fi,d,0}$$

- Současně, pro únosnost platí:

$$R_{fi,d,t} \geq E_{fi,d} = \frac{E_{fi,d}}{R_{fi,d,0}} R_{fi,d,0} = \mu_0 R_{fi,d,0} \Rightarrow k_{y,\theta} \geq \mu_0$$

- Když  $k_{y,\theta} = \mu_0$ , odpovídající teplota je tzv. kritická teplota průřezu  $\theta_{cr}$
- V normě ČSN EN 1993-1-2 je použit jednoduchý výraz pro výpočet kritické teploty průřezu  $\theta_{cr}$

$$\theta_{cr} = 39.19 \ln \left[ \frac{1}{0.9674 \mu_0^{3.833}} - 1 \right] + 482$$

# Použití kritické teploty při požárním návrhu

Zatížení při požáru  $E_{fi,d}$

Únosnost při teplotě  $20^{\circ}\text{C}$ :  $R_d$   
**nebo** návrhová hodnota zatížení při teplotě  $20^{\circ}\text{C}$ :  $E_d$

Redukční součinitel zatížení při požáru:  $\eta_{fi,t} = \frac{E_{fi,d}}{R_d}$

Stupeň využití průřezu:  $\mu_0 = \eta_{fi,t} \frac{\gamma_{M,fi}}{\gamma_M}$

Kritická teplota:  $\theta_{cr}$

- **přímý výpočet**
- **iterační postup**

# Iterační postup pro určení kritické teploty (návrh ocelového sloupu)

- Krátký sloup  
zatížený prostým  
tlakem



$$N_{b,fi,t,Rd} = A k_{y,\theta_{max}} f_y \frac{1}{\gamma_{M,fi}}$$



Redukční součinitel meze kluzu  $k_{y,\theta_{max}}$  pro teplotu  $\theta_{a,max}$

- Sloup zatížený  
**vzpěrným tlakem**



$$N_{b,fi,t,Rd} = \chi(\lambda_\theta) A k_{y,\theta_{max}} f_y \frac{1}{\gamma_{M,fi}}$$



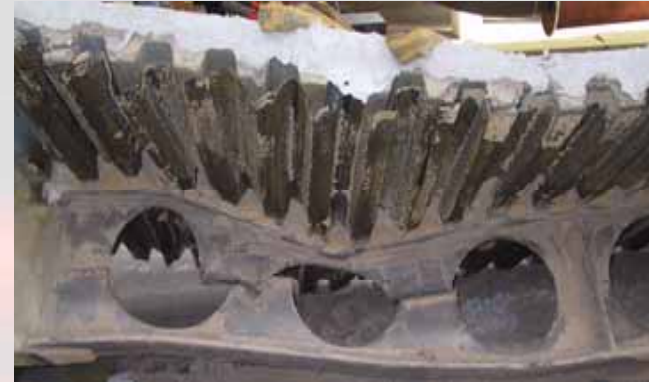
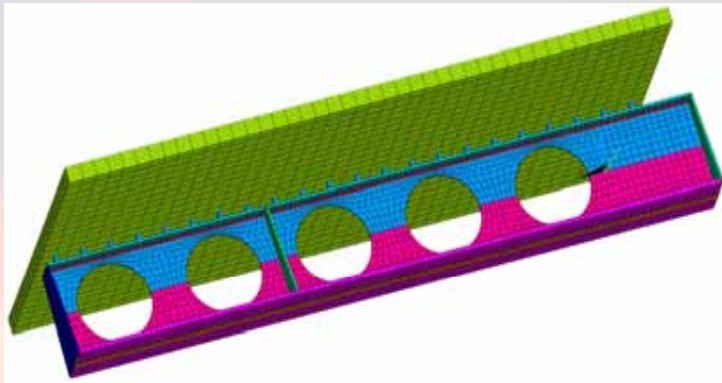
Vzpěrnostní součinitel  $\chi(\lambda_\theta)$  závisí na:

- únosnosti
  - **tuhosti (modulu pružnosti)**
- V případě stabilních jevů je pro určení kritické teploty  $\theta_{a,max}$  třeba použít **jednoduchý iterační postup**

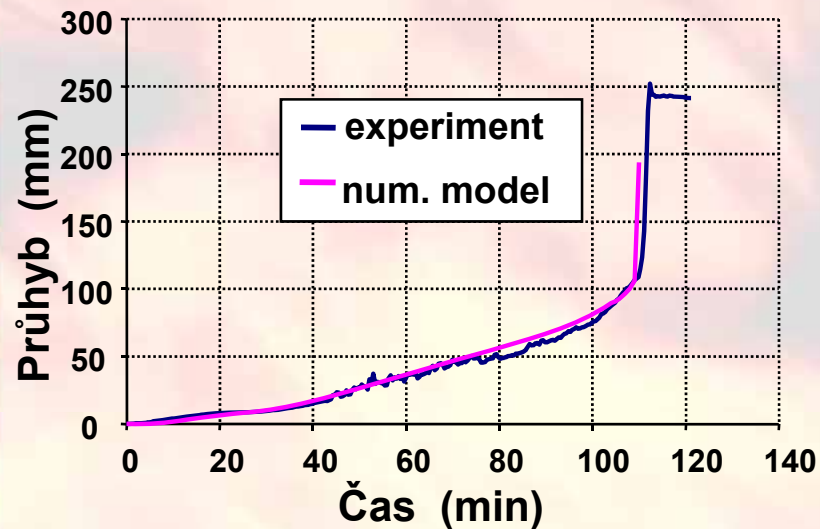




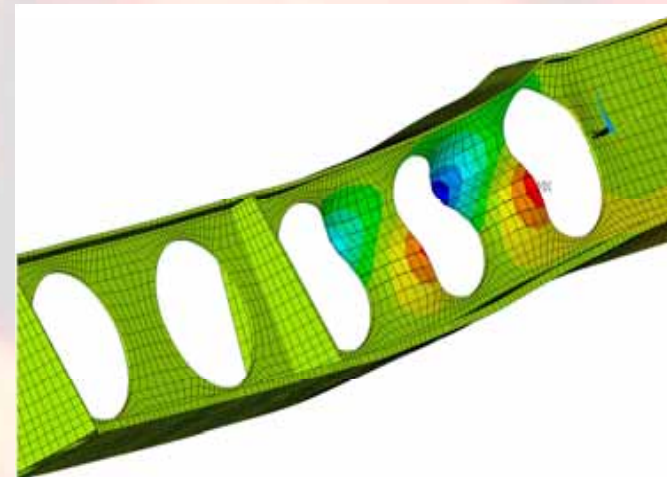
# Zdokonalené návrhové modely (prolamovaný ocelobetónový nosník)



Porušení při experimentu



Porovnání experimentu  
a numerického modelu



Numerický model

# Analýza konstrukce při požáru

## □ Obecná pravidla

- nutnost použití pokročilého návrhového modelu
- výběr vhodného modelu
- okrajové podmínky
- zatížení
- vhodné materiálové modely
- okrajové podmínky vzhledem k částem konstrukce, které nejsou modelovány
- zhodnocení výsledků, posouzení únosnosti
- zohlednění vlivů, které nebyly zahrnuty do modelu (shoda modelu a konstrukčního řešení – přípoje, atd.)



# Zdokonalený model při požárním návrhu

## □ Pravidla pro použití zdokonaleného návrhového modelu

### ➤ požadavky na model materiálu

- úplný pracovní diagram
- kinematický model
- vlastnosti při chladnutí

### ➤ přírůstkové řešení, iterační postup

### ➤ kontrola způsobů porušení nezohledněných v numerickém modelu

- porušení v důsledku nadměrné deformace ocelových prvků
- trhliny v betonu

# Požadavky na model materiálu

složky poměrných přetvoření

$$\varepsilon_t = \varepsilon_{th} + (\varepsilon_\sigma + \varepsilon_c) + \varepsilon_r$$

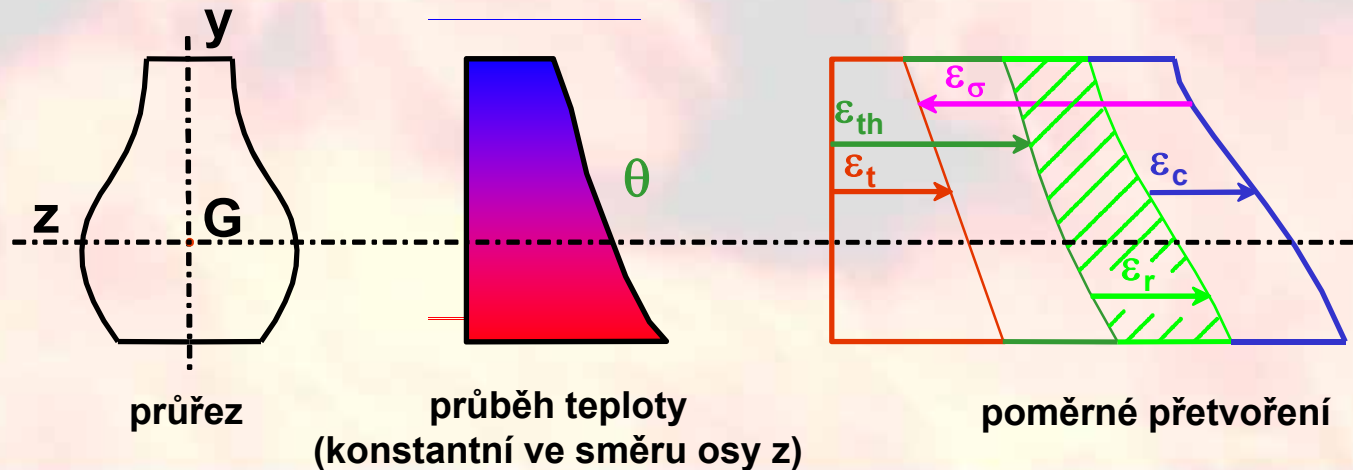
$\varepsilon_t$ : celkové poměrné přetvoření

$\varepsilon_{th}$ : poměrné přetvoření od teploty

$\varepsilon_\sigma$ : poměrné přetvoření od zatížení

$\varepsilon_r$ : poměrné přetvoření od reziduálních napětí (pokud existují)

$\varepsilon_c$ : poměrné přetvoření od dotvarování

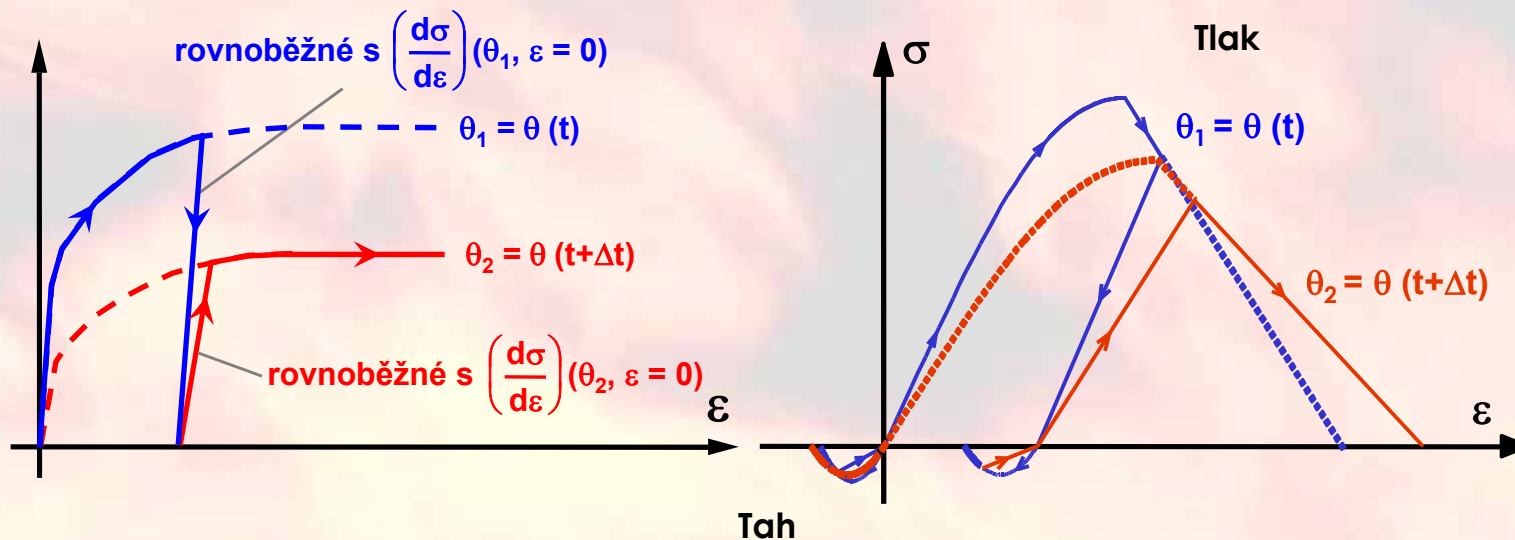


# Požadavky na model materiálu

## kinematický model materiálu

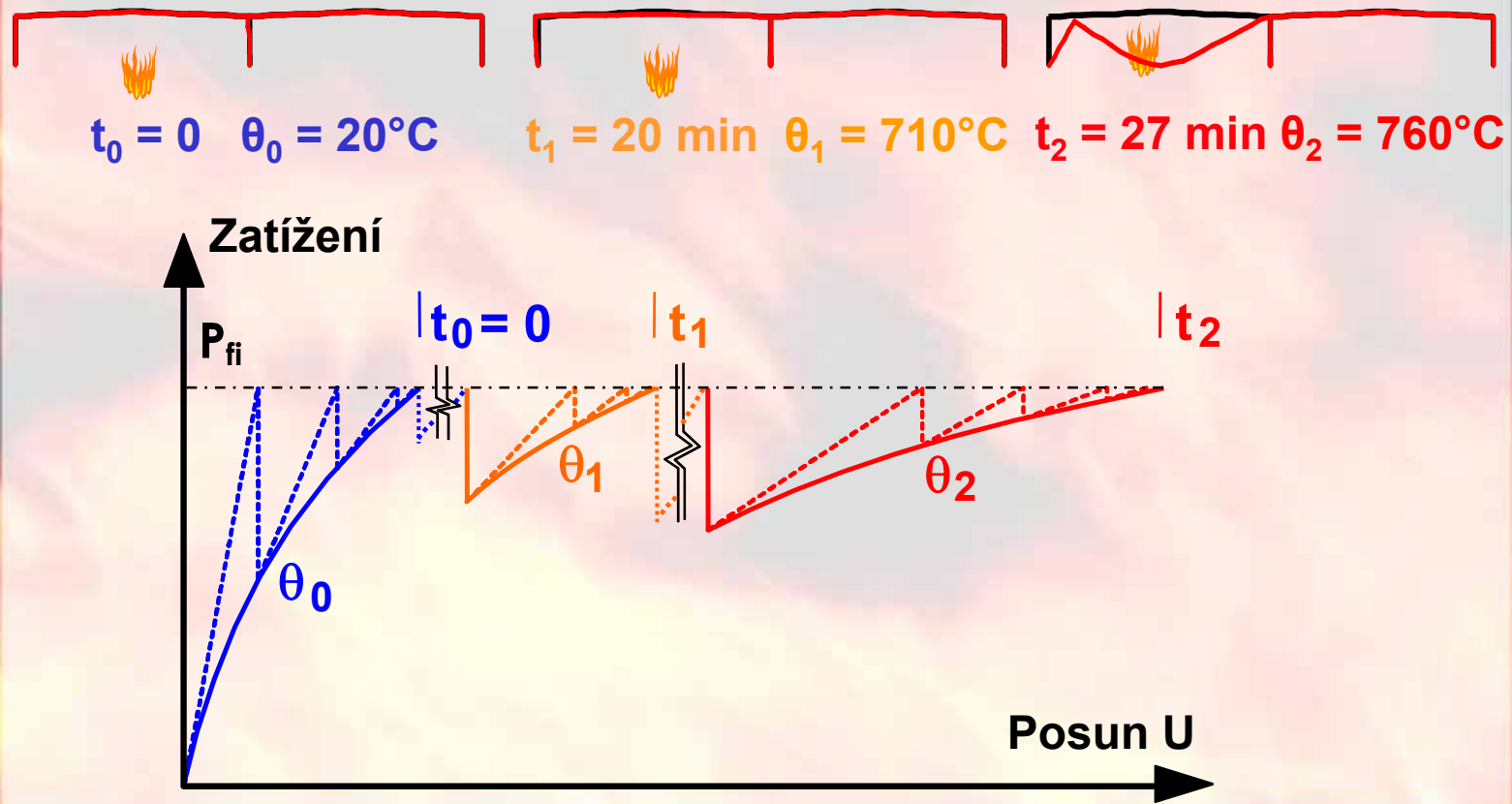
**Ocel**  
(izotropní materiál)

**Beton**  
(anizotropní materiál)



# Přírůstkové řešení, iterace

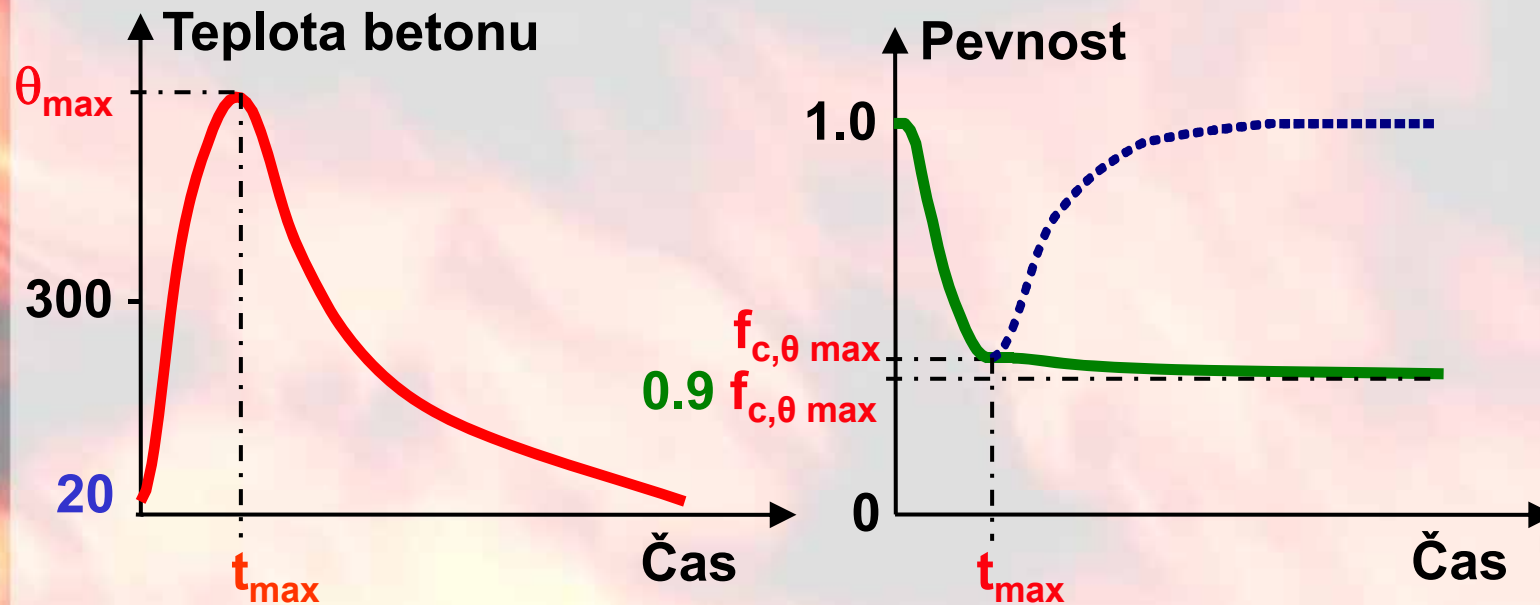
- Při výpočtu je třeba zohlednit závislost únosnosti i tuhosti konstrukce na teplotě



# Vlastnosti materiálu při chladnutí

Ocel získává při chladnutí původní vlastnosti

Beton při chladnutí

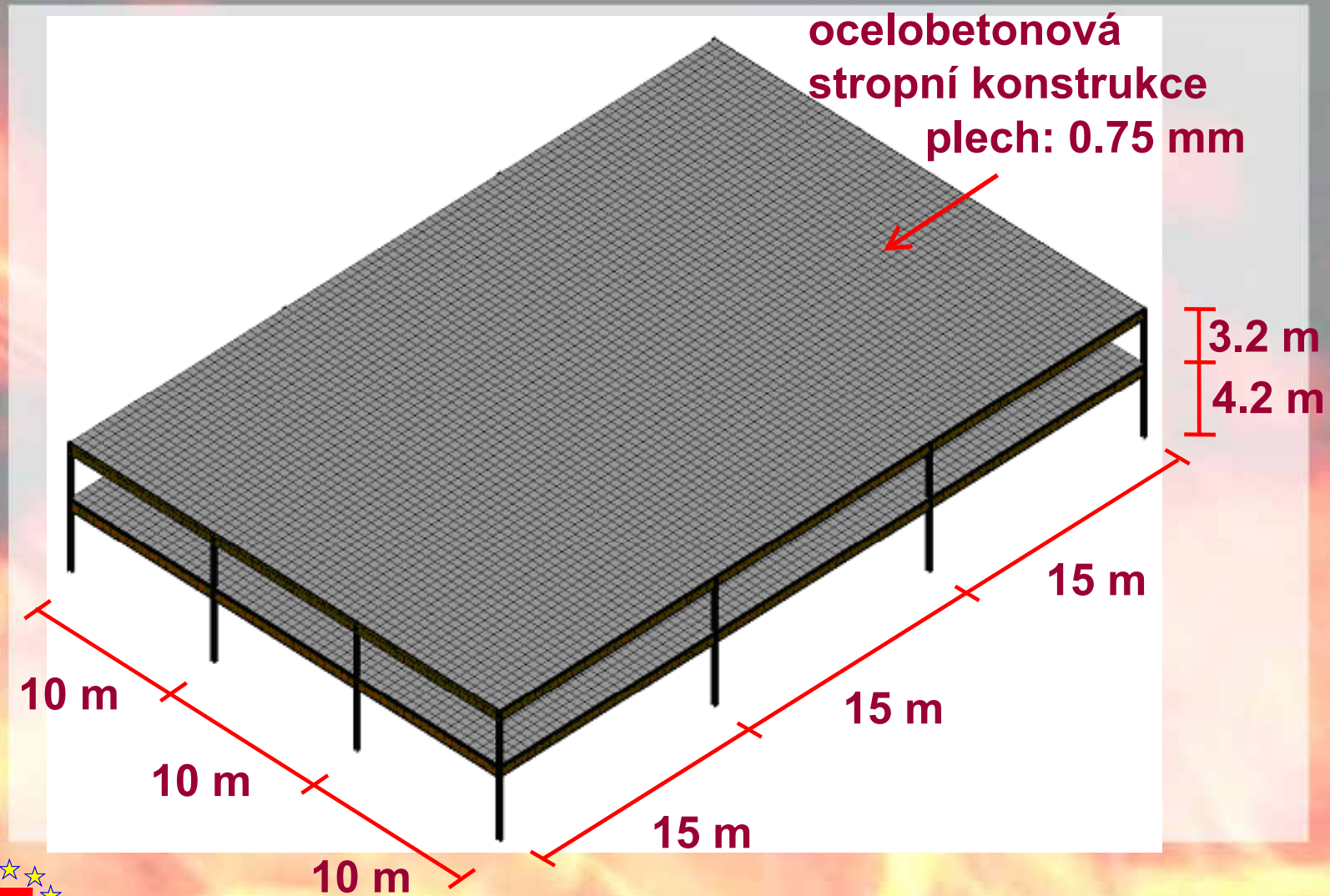


Například při teplotě  $\theta_{max} \geq 300^\circ C$

$$f_{c,\theta,20^\circ C} = 0.9 f_{c,\theta max}$$

Pro určení  $f_{c,\theta}$  mezi  $\theta_{max}$  a  $20^\circ C$  se použije lineární interpolace

# Analýza ocelobetonové konstrukce při lokalizovaném požáru





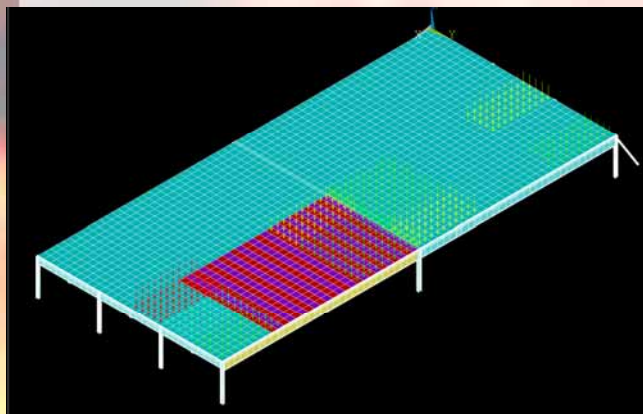
# Výběr modelu

- ❑ **Lze použít dva způsoby modelování**
  - **2D ocelobetonový rám (prutové prvky)**
    - membránové působení je omezeno pouze na jeden směr
    - přerozdělování zatížení mezi sousedními nosníky není možné
  - **3D ocelobetonová konstrukce (různé typy prvků)**
    - membránové působení v celé stropní konstrukci
    - přerozdělování zatížení je možné při použití skořepinových prvků
- ❑ **3D model ocelobetonové konstrukce lépe odpovídá skutečnému chování**

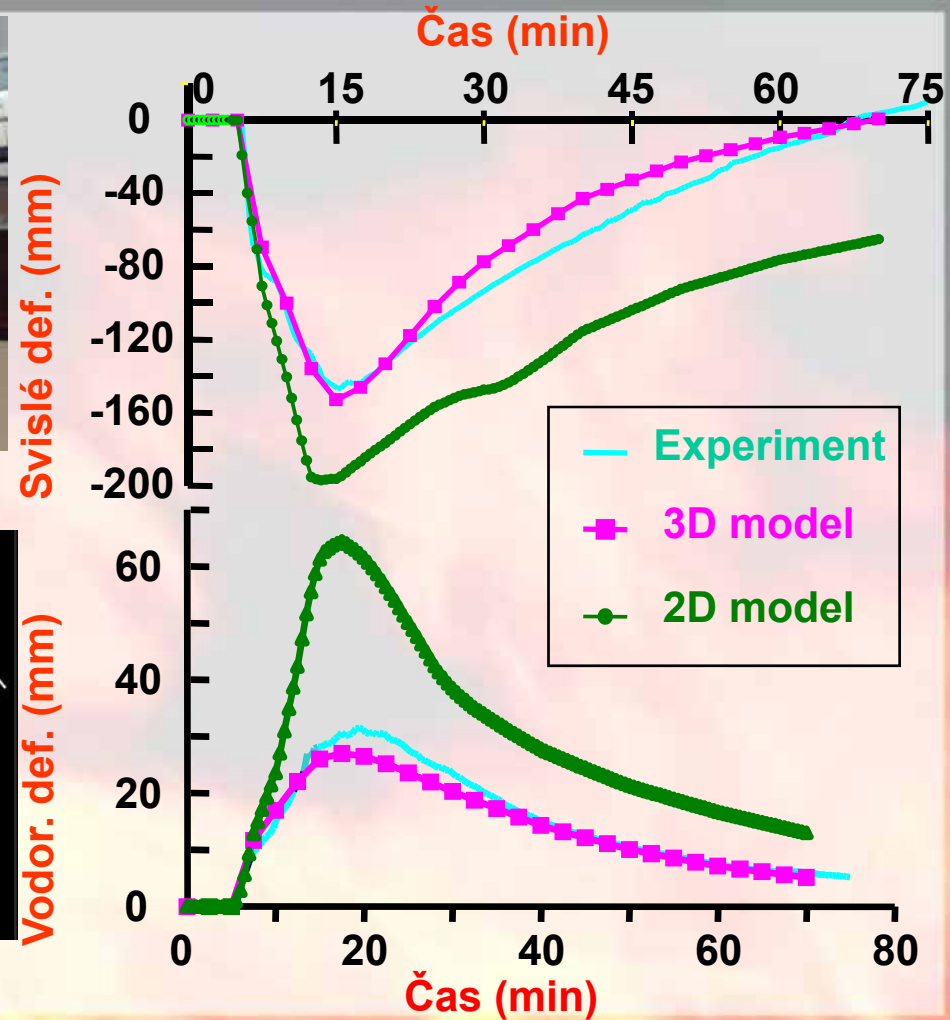
# Porovnání modelů s experimentem



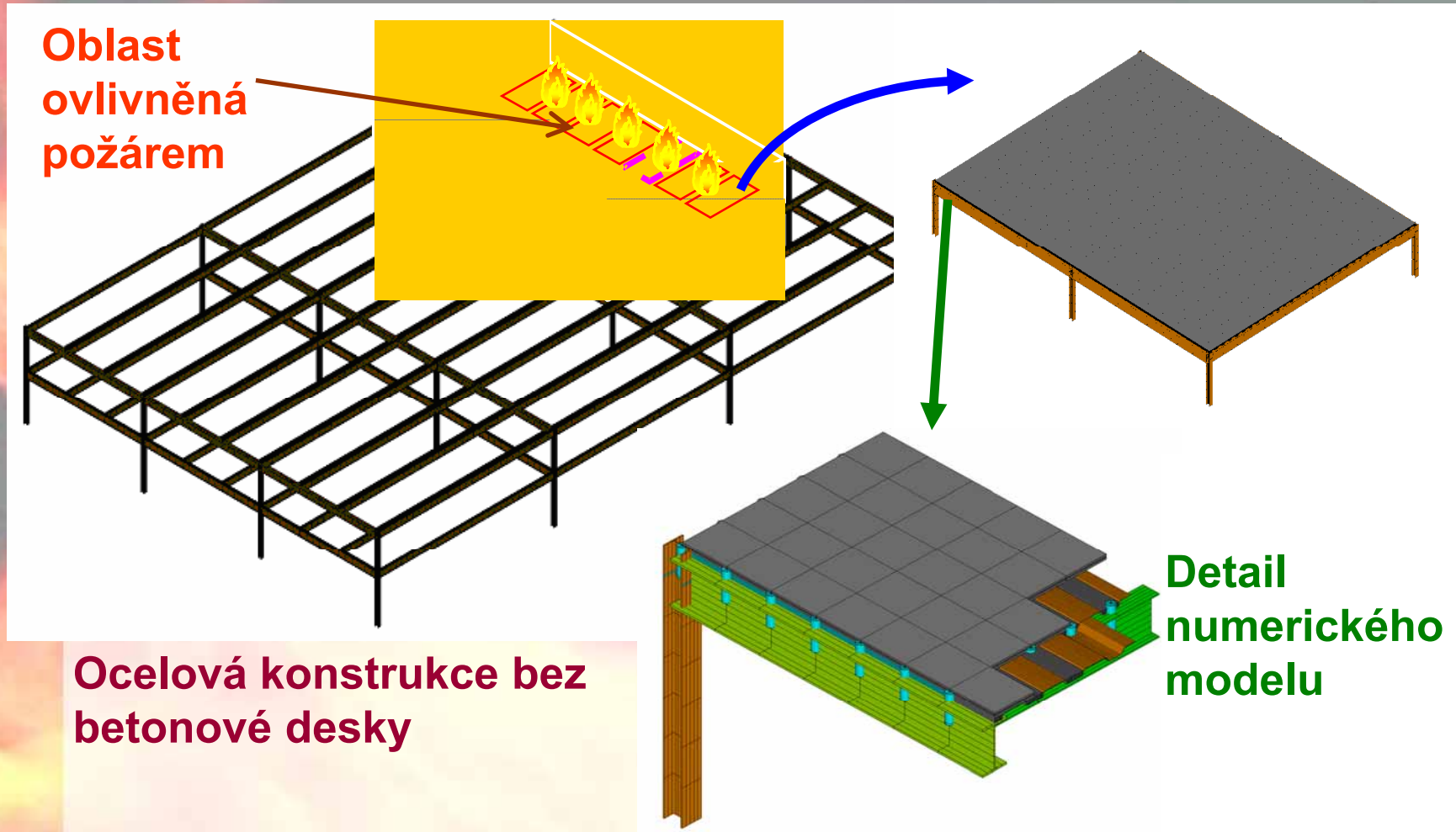
Experiment



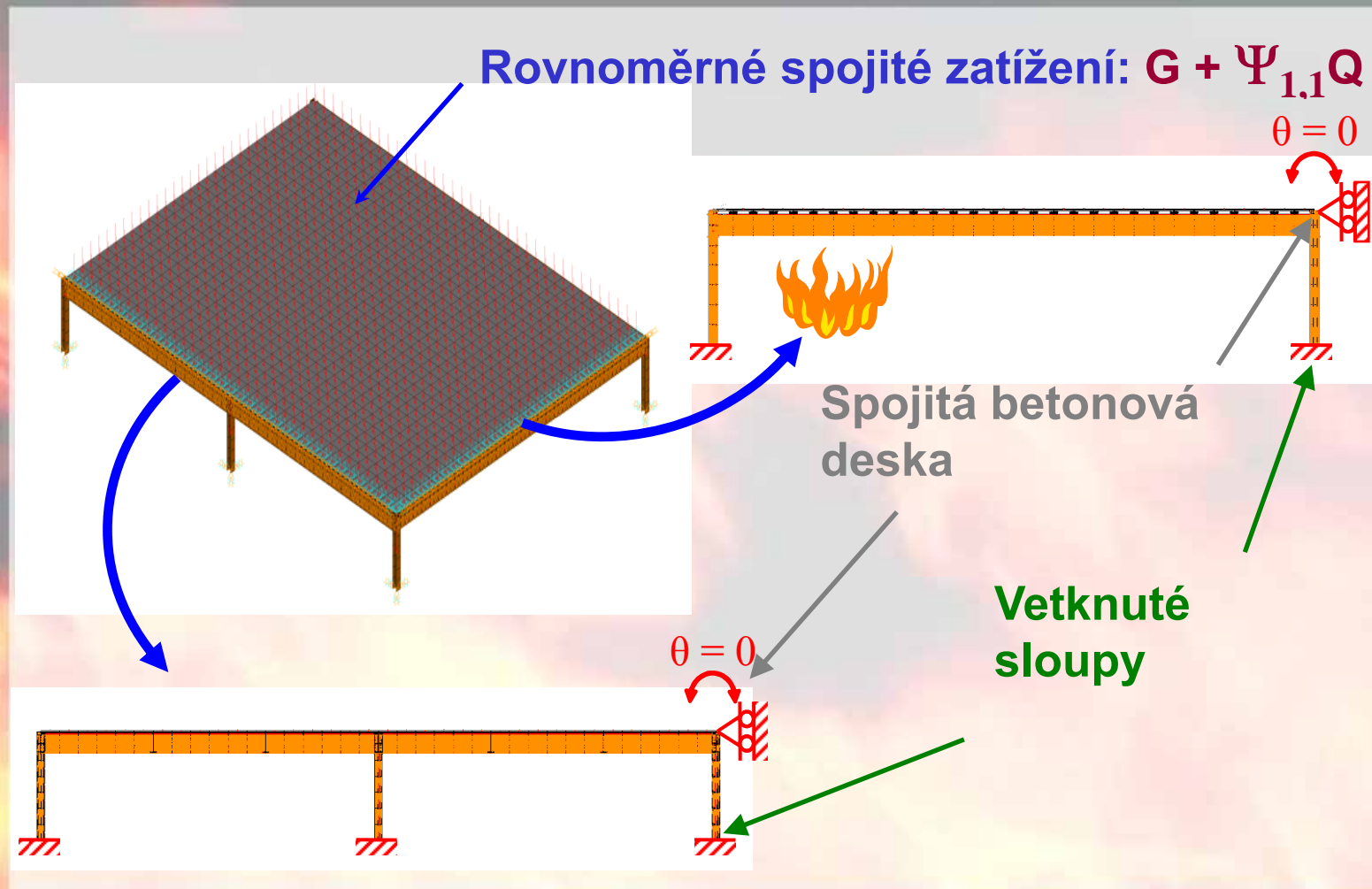
3D model



# 3D model ocelobetonové konstrukce

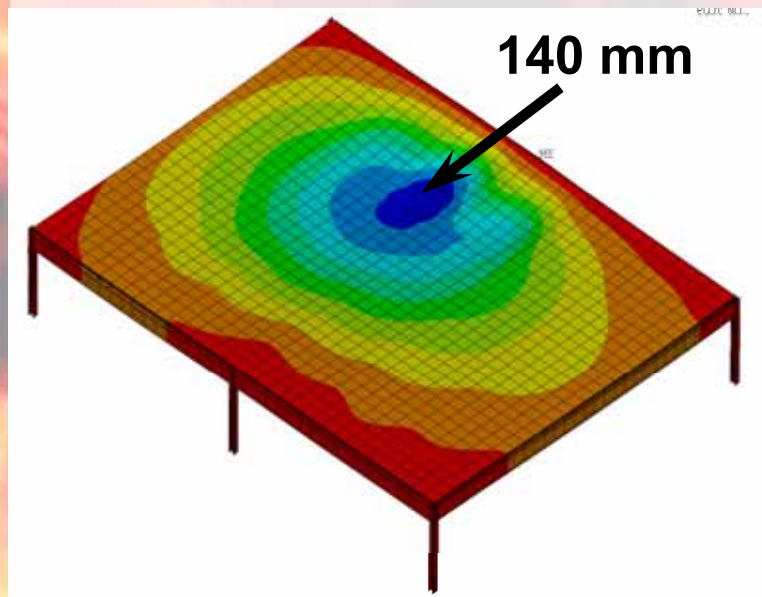


# Mechanické zatížení a okrajové podmínky

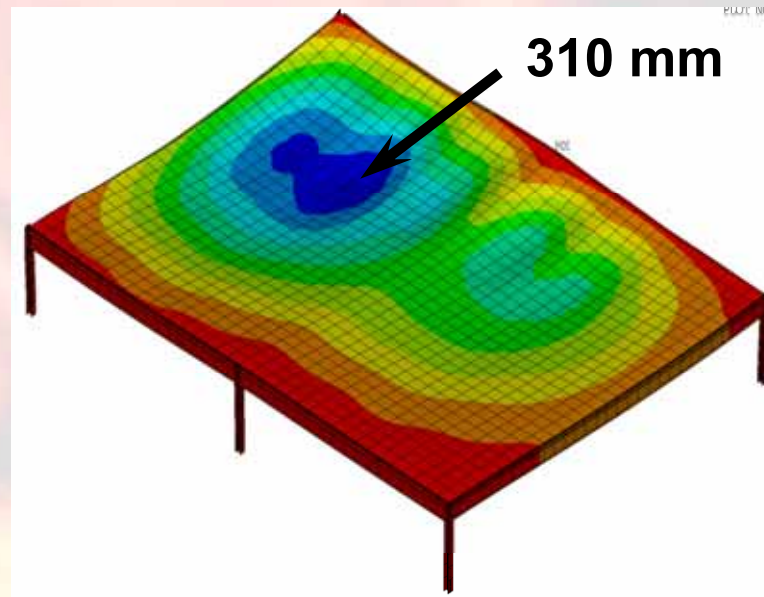


# Chování konstrukce při požáru

## ➤ Průhyb stropní konstrukce



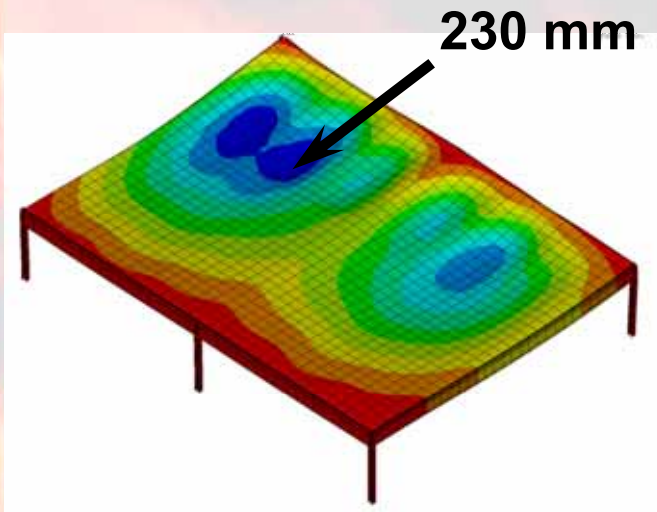
20 min



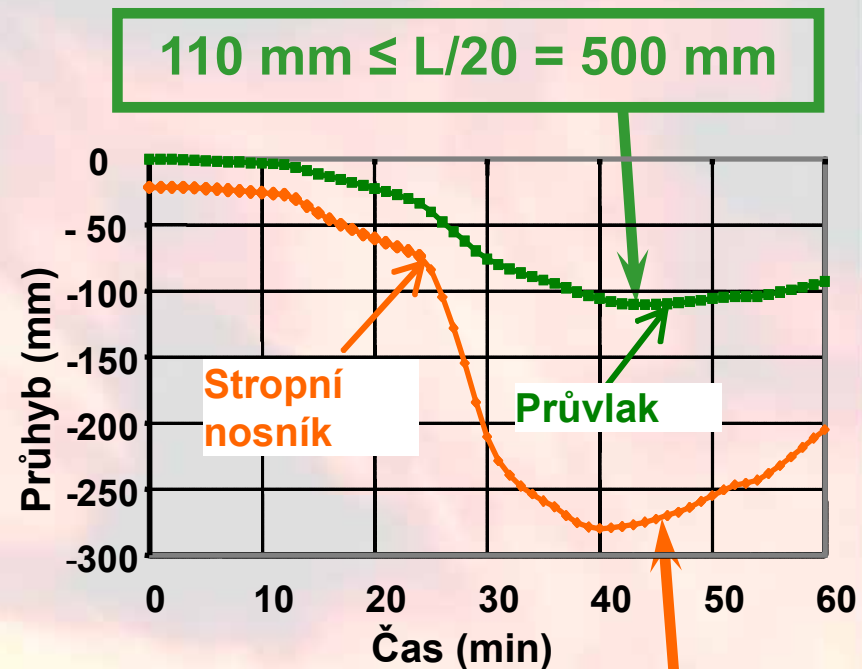
40 min

# Chování konstrukce při požáru

## ➤ Kontrola maximálních povolených průhybů

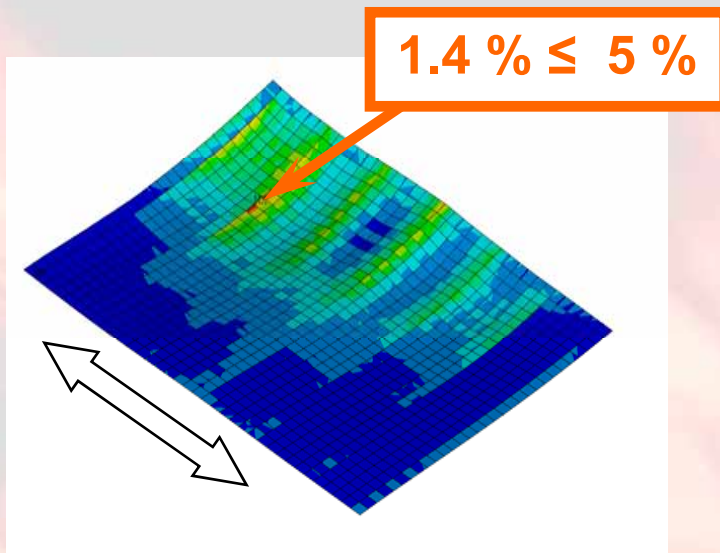


60 min

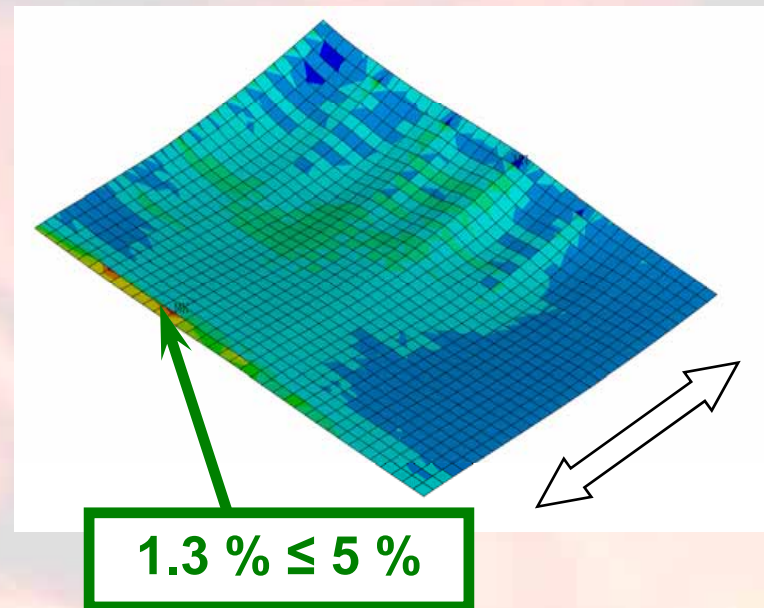


# Chování konstrukce při požáru

## ➤ Kontrola maximálního protažení výztuže



Poměrné protažení výztuže  
rovnoběžné s rozpětím desky

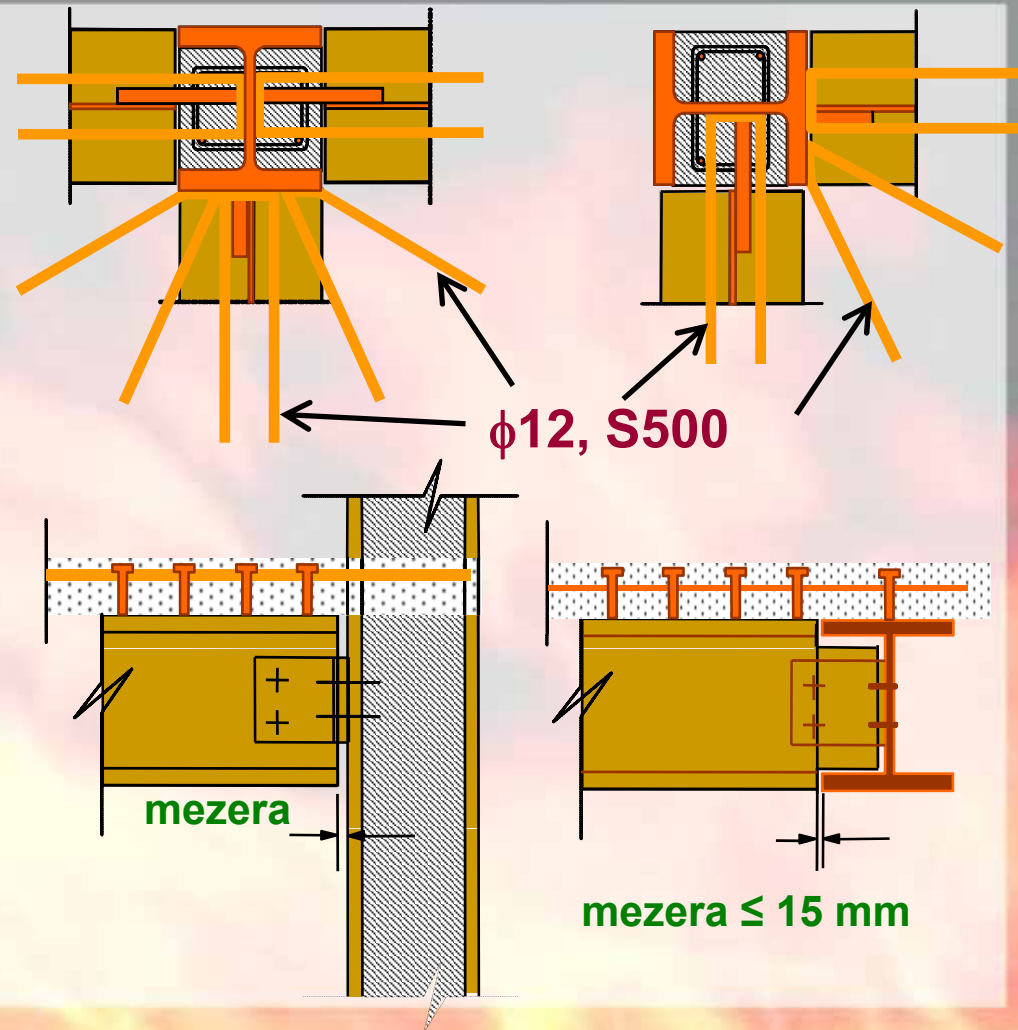


Poměrné protažení výztuže  
kolmé k rozpětí desky

# Konstrukční řešení musí odpovídat návrhovému modelu

Připojení  
výztuže desky  
ke krajním  
sloupům

Maximální mezera  
mezi nosníkem a  
sloupem a mezi  
spodními pásnicemi  
nosníků je 15 mm





# Skutečná konstrukce s nechráněnými nosníky , návrh pomocí pokročilého modelu



Při montáži

Po dokončení



# Konstrukční řešení ve vztahu k požární odolnosti konstrukce

## ☐ Konstrukční řešení

➤ Řešení styčnicků (ocelových a ocelobetonových)

➤ Spojení oceli a betonu

- Spřažení
- Výztuž

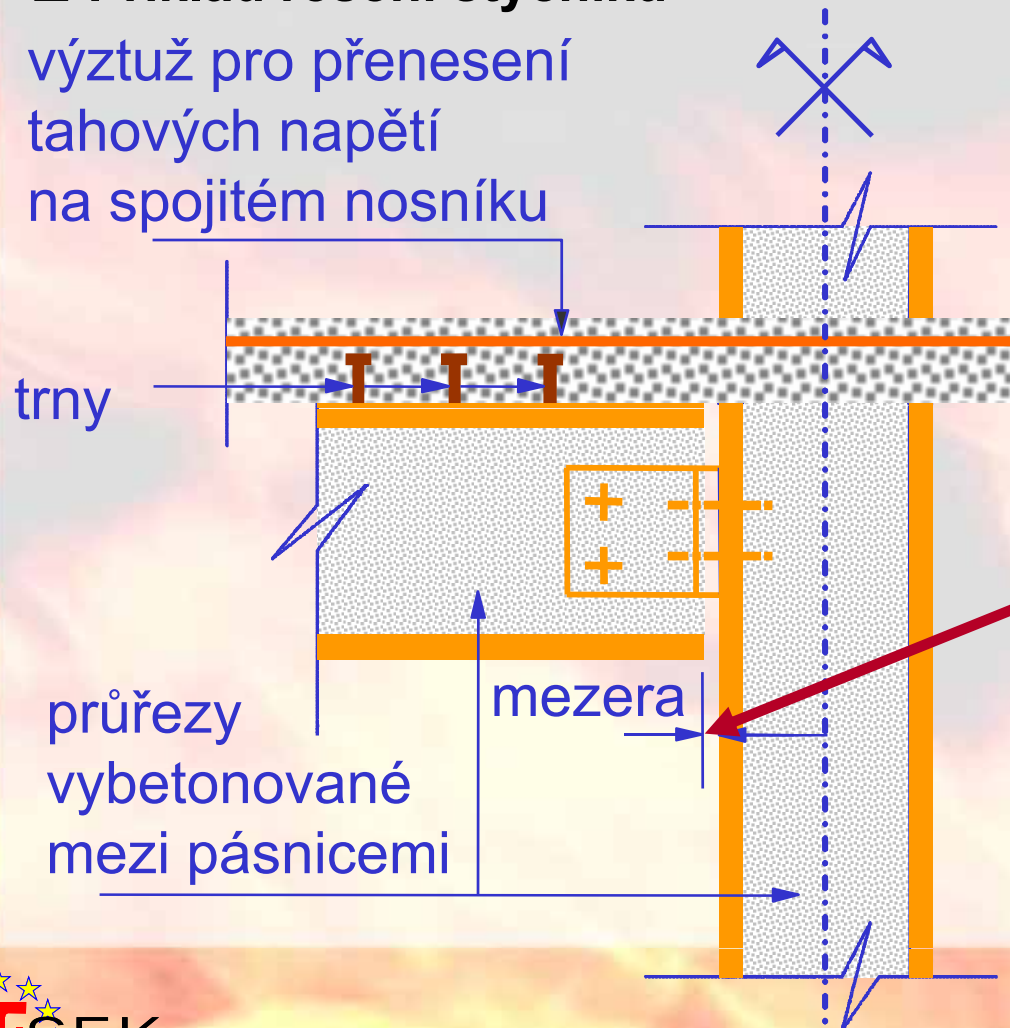
## ☐ Chování konstrukce při chladnutí

➤ Styčnický

# Konstrukční řešení umožňující vznik spojitého nosníku při požáru (ČSN EN 1994-1-2)

## □ Příklad řešení styčnicku

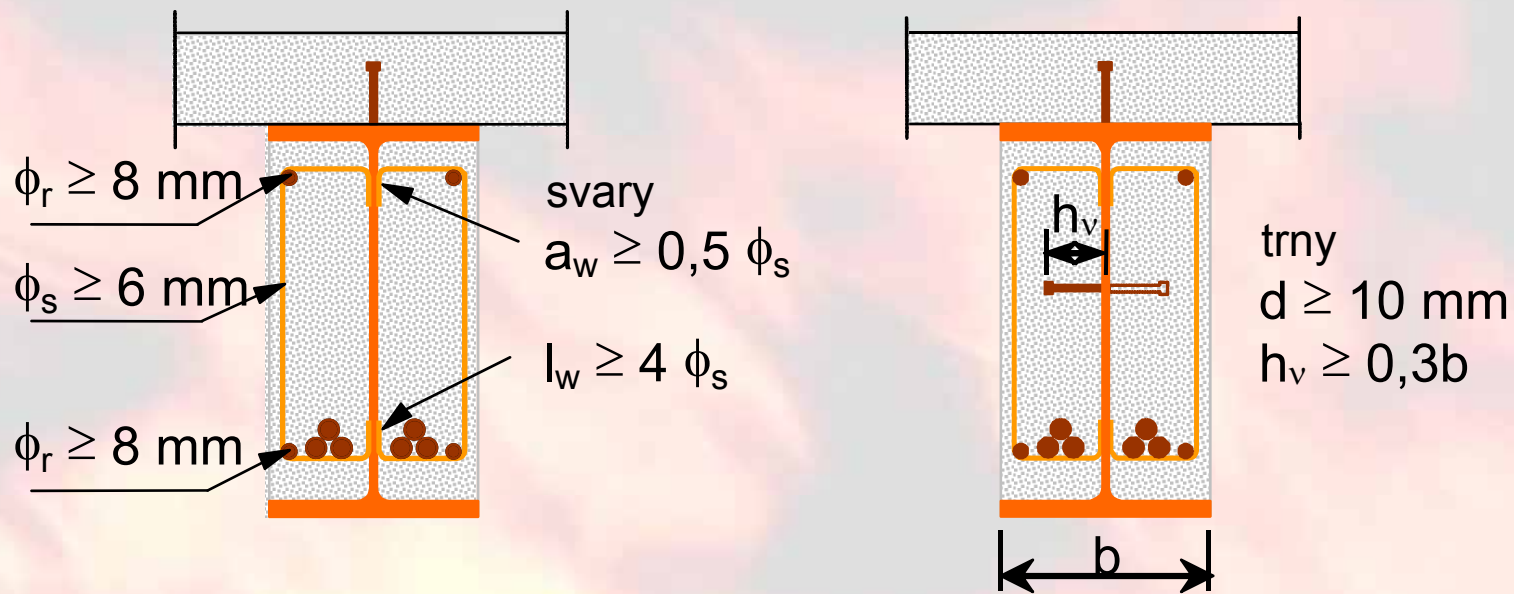
výztuž pro přenesení  
tahových napětí  
na spojitý nosník



Malá mezera  
umožní  
vytvoření  
podporového  
momentu  
(spojitý nosník)  
při požáru

# Konstrukční řešení pro spojení mezi nosníkem a betonem (ČSN EN 1994-1-2)

## ☐ Spojení mezi ocelovým nosníkem a betonem



**Třmínky přivařené ke stěně nosníku**

**Trny přivařené ke stěně nosníku**

# Národní přílohy k ČSN EN 1993-1-2 a ČSN EN 1994-1-2

## ČSN EN 1993-1-2 (ocelové konstrukce)

- Umožňuje volbu parametrů v 6 odstavcích
- Přejímá hodnoty z EN 1993-1-2 beze změny
- Vyjímkou je kritická teplota tenkostěnných konstrukcí
  - ohýbané prvky:  $\theta_{cr} = 500^{\circ}\text{C}$
  - tlačené prvky:  $\theta_{cr} = 450^{\circ}\text{C}$
- Navíc: kritická teplota požárně odolné oceli FRS 275 N (tab. 2.1)
- kritická teplota za studena tvarovaných tažených prvků (tab. 2.2)

## ČSN EN 1994-1-2 (ocelobetonové konstrukce)

- Umožňuje volbu parametrů v 8 odstavcích
- Přejímá původní hodnoty
- Použití evropského softwaru je možné bez úprav

# Děkuji za pozornost

sokol@fsv.cvut.cz

URL: [fire.fsv.cvut.cz/difisek](http://fire.fsv.cvut.cz/difisek)



Část 3: Analýza konstrukce